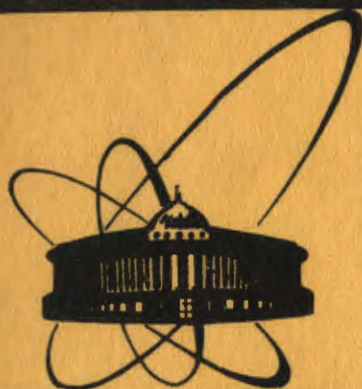


87-268.



**СООБЩЕНИЯ  
ОБЪЕДИНЕННОГО  
ИНСТИТУТА  
ЯДЕРНЫХ  
ИССЛЕДОВАНИЙ  
ДУБНА**

К 289

P9-87-268

**М.С.Касчиев, В.Н.Мамонов, Ю.Л.Обухов,  
К.А.Решетникова, С.Б.Рубин**

**РАСЧЕТ ВЫСОКОЧАСТОТНЫХ ХАРАКТЕРИСТИК  
ДИАФРАГМИРОВАННЫХ ВОЛНОВОДОВ**

**1987**

## ВВЕДЕНИЕ

В связи с поисками путей повышения темпа ускорения заряженных частиц и появлением схем двухпучкового ускорения<sup>'1'</sup> возрос интерес к периодическим ускоряющим структурам со сложной формой поперечного сечения. Особенно перспективными для целей ускорения частиц в области релятивистских энергий являются диафрагмированные волноводы, позволяющие при фазовой скорости волны, равной скорости света, получать высокие напряженности ускоряющего поля (~ 1 ГэВ/м). Такие большие градиенты поля могут быть достигнуты только при работе на высоких частотах ( $f \sim 30$  ГГц), что, в свою очередь, приводит к сокращению поперечных размеров волновода, уменьшению пространственного периода, увеличению требований к чистоте поверхности и т.д.<sup>'2'</sup>

Основная задача проектирования периодических волноводов состоит в выборе такой геометрии структуры, которая обеспечивает требуемые радиотехнические параметры. В связи с этим для выбора оптимальной формы широко применяются методы численного моделирования.

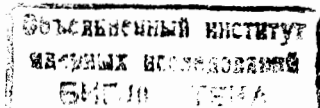
В настоящей работе на основе метода конечных элементов<sup>'3,4'</sup> и метода частичных областей<sup>'5'</sup> вычисляются радиотехнические характеристики диафрагмированного волновода, используемые в проекте двухпучкового ускорителя<sup>'2'</sup>.

Численные исследования проводились с помощью пакета прикладных программ MULTIMODE для волноводов с прямыми и закругленными краями диафрагм в случае азимутально однородных волн. Для волноводов с прямыми краями диафрагм проводился расчет также методом частичных областей, как для азимутально однородных волн, так и для волн с вариацией по азимуту.

## 1. ПОСТАНОВКА ЗАДАЧИ

Известно, что в случае осесимметричной структуры компоненты  $H_\phi$  и  $E_\phi$  электромагнитных полей в резонаторе без вариации по азимуту являются решением спектральной задачи

$$LU = -r \frac{\partial}{\partial r} \frac{1}{r} \frac{\partial U}{\partial r} - \frac{\partial^2 U}{\partial z^2} = k^2 U. \quad (1.1)$$



При этом  $\frac{\partial U}{\partial n} \Big|_{r=0} = 0$  для Е-волн,  $u \Big|_{r=0} = 0$  для Н-волн,  $u \Big|_{r=a} = 0$ . Здесь  $r$  — металлические границы поперечного сечения волновода,  $k$  — волновое число. На границах  $z = 0$  и  $z = D/2$  ставятся условия четности или нечетности решения.

В случае периодической структуры функция  $u$  — комплексная<sup>/3/</sup>:

$$U = F_S(r, z) - i F_A(r, z),$$

а функции  $F_S$  и  $F_A$  являются решениями уравнений

$$L F_S = k^2 F_S, \quad L F_A = k^2 F_A, \quad (1.2)$$

при этом

$$F_S \Big|_{r=0} = 0, \quad F_A \Big|_{r=0} = 0 \quad \text{для Н-волн,}$$

$$\frac{\partial F_S}{\partial n} \Big|_{r=0} = 0, \quad \frac{\partial F_A}{\partial n} \Big|_{r=0} = 0 \quad \text{для Е-волн.}$$

В обоих случаях на границах  $r = 0$ ,  $z = 0$ ,  $z = D/2$  ставятся следующие граничные условия:

$$F_S \Big|_{r=0} = 0, \quad F_A \Big|_{r=0} = 0, \quad (1.3)$$

$$\frac{\partial F_S}{\partial z} \Big|_{z=0} = 0, \quad F_A \Big|_{z=0} = 0,$$

$$[F_S \sin(hz) - F_A \cos(hz)] \Big|_{z=L/2} = 0,$$

$$\left[ \frac{\partial F_S}{\partial z} \cos(hz) + \frac{\partial F_A}{\partial z} \sin(hz) \right] \Big|_{z=L/2} = 0. \quad (1.4)$$

Здесь  $hD = \theta$  — сдвиг фаз на период, при этом фазовые скорости гар-

моник  $\beta_n = \frac{\omega D}{(hD + 2\pi n)c}$ . Граничные условия (1.4) вытекают из теоре-

мы Флоке, см., например,<sup>/5/</sup>.

Пакет прикладных программ MULTIMODE предназначен для численного решения рассмотренных задач и определения по полученному ре-

шению необходимых радиотехнических характеристик волновода<sup>/4,6,10/</sup>. В указанных работах достаточно подробно описаны численные методы, используемые в пакете.

## 2. О ПРОГРАММЕ ALF

Для построения дисперсионных кривых методом частичных областей была использована программа ALF<sup>/7/</sup>.

Как известно, см., например,<sup>/8/</sup>, в этом методе внутренняя область волновода разбивается цилиндрической поверхностью  $r = a$  на две области: I —  $r \leq a$  — область распространения и II —  $a \leq r \leq b$  — резонаторная область. Компоненты поля  $E_z$  и  $H_\phi$ , например, имеют вид

$$E_z^I(r, z, t) = e^{im\phi} \sum_{n=-\infty}^{\infty} A_{1n} \frac{J_m(\sigma_n r)}{J_m(\sigma_n a)} e^{ih_n z} e^{-i\omega t}, \quad (2.1)$$

$$H_\phi^I(r, z, t) = i e^{im\phi} \sum_{n=-\infty}^{\infty} \left[ \frac{k}{\sigma_n} A_n \frac{J'_m(\sigma_n r)}{J_m(\sigma_n a)} - \frac{mh_n}{kr} \left( \frac{mh_n}{a\sigma_n^2} A_{1n} + A_{2n} \right) \frac{J_m(\sigma_n r)}{\sigma_n J'_m(\sigma_n a)} \right] e^{ih_n z} e^{-i\omega t},$$

$$\text{где } \sigma_n = \sqrt{k^2 - h_n^2}, \quad h_n = h + \frac{2\pi n}{D},$$

$$E_z^{II}(r, z, t) = e^{im\phi} \sum_{n=0}^{\infty} i^{n'} \left\{ \frac{2 - \delta_{0n'}}{4} B_{1n'} \frac{Z_{1m}(\kappa_n' r)}{Z_{1m}(\kappa_n' a)} \right\} \cos[\eta_n'(z + \frac{d}{2})] e^{-i\omega t},$$

$$H_\phi^{II}(r, z, t) = i e^{im\phi} \sum_{n=0}^{\infty} i^{n'} \left\{ k \frac{2 - \delta_{0n'}}{4\kappa_n'} B_{1n'} \frac{Z'_{1m}(\kappa_n' r)}{Z_{1m}(\kappa_n' a)} - \frac{m\eta_n'}{2kr} \times \right. \quad (2.2)$$

$$\left. \times \left[ \frac{\pi n' m}{da\kappa_n'^2} B_{1n'} - B_{2n'} \right] \frac{Z_{2m}(\kappa_n' r)}{\kappa_n' Z'_{2m}(\kappa_n' a)} \right\} \cos[\eta_n'(z + \frac{d}{2})] e^{-i\omega t},$$

где

$$Z_{1m}(\kappa_n' r) = J_m(\kappa_n' r) N_m(\kappa_n' b) - N_m(\kappa_n' r) J_m(\kappa_n' b),$$

$$Z_{2m}(\kappa_n, r) = J_m(\kappa_n, r) N_m'(\kappa_n, b) - N_m(\kappa_n, r) J_m'(\kappa_n, b); \kappa_n^2 = k^2 - \eta_n^2, \eta_n = \frac{\pi n}{d}.$$

Штрих — производная по аргументу цилиндрической функции. Сшивая решения для тангенциальных компонент поля при  $r = a$  и используя свойства ортогональности и полноты собственных функций, получаем бесконечную алгебраическую систему для неизвестных функций  $A_{1n}, B_{1n}$ . Исследование дисперсионных свойств структуры  $k(h)$  или  $f(\theta)$  проводится на основе детерминанта матрицы  $\{uk\}$ , который является функцией  $h$  и  $k$ :  $\text{Det}\{uk\} = \Phi(h, k)$ , где  $h$  — постоянная распространения собственных волн в системе,  $k = \omega/c$ . Для улучшения сходимости элементов матрицы использовано условие на ребре <sup>18/</sup>.

Полагаем  $k = \beta h$  и определяем корни уравнения  $\Phi(h, \beta h) = 0$  в зависимости от  $\beta$ . В силу периодичности и симметрии зависимости  $k(h)$  достаточно рассмотреть интервал  $0 \leq h \leq \pi/D$ . Поиск корней уравнения  $\Phi(h, \beta h) = 0$  производится при фиксированном  $\beta$  путем задания разбиения интервала  $(0, \pi/D)$  с шагом  $\Delta h$  по переменной  $h$  и определения конкретного корня внутри каждого интервала длиной  $2\Delta h$  методом Ньютона. Изменением параметра  $\beta$  определяются другие точки дисперсионных кривых. Более подробно аналитические выражения и исследование дисперсионных свойств структуры изложены в работе <sup>19/</sup>.

### 3. РЕЗУЛЬТАТЫ РАСЧЕТА

Перейдем к описанию результатов численного моделирования диафрагмированного волновода. На рис. 1 показана геометрия соответствующей периодической структуры и принятые обозначения.

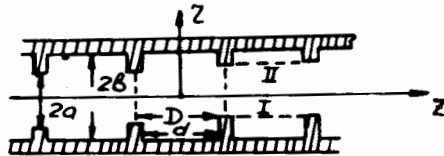


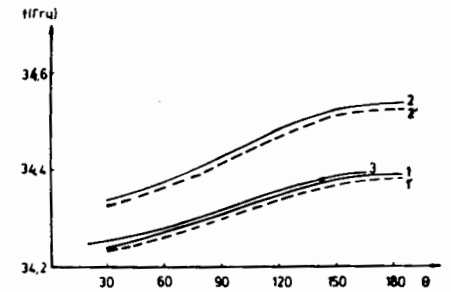
Рис. 1. Схема волновода.

Численные значения геометрических параметров волновода были взяты из работы <sup>2/</sup>:  $a = 0,7950$  мм,  $b = 3,377$  мм, расстояние между дисками  $d = 2,891$  мм, период структуры  $D = 3,3740$  мм.

Для волновода с закругленными краями дисков было принято, что радиус закругления равен половине толщины диска.

Основными характеристиками волновода с бегущей E-волной являются частоты и фазовые скорости отдельных гармоник. Для основной гармоники  $E_{010}$  фазовая скорость ( $v = \beta c$ ) связана с частотой  $f$  и сдвигом фазы на период  $\theta$  следующим образом:  $hD = \frac{2\pi}{\lambda_0} D = \theta$ , где  $\lambda_0 = \frac{c}{f}$ .

Рис. 2. Диаграмма Бриллюэна.



На рис. 2 показаны значения частоты  $f$  как функции  $\theta$  для волны  $E_{01}$ , полученные разными методами. Здесь кривая 1 — значения  $f$ , вычисленные по программе MULTIMODE для прямых краев диафрагм при идеальной проводимости стенок, 1' — для реальной проводимости (для меди). Кривая 2 — значения  $f$ , вычисленные по той же программе для закругленных краев диафрагм для идеальной проводимости, 2' — для реальной. Кривая 3 — значения  $f$ , вычисленные по методу частичных областей (программа ALF).

Как видно, значения резонансных частот, вычисленные разными методами, совпадают с точностью не хуже 0,03%. Это подтверждается данными табл. 1, где приведены соответствующие цифры для прямых диафрагм.

В табл. 2 приведены значения  $f$  для прямых и закругленных краев диафрагм, вычисленные по программе MULTIMODE для идеальной и реальной проводимости стенок волновода.

Как видно из рис. 2 и табл. 2, для волновода с закругленными краями диафрагм резонансные частоты увеличиваются по сравнению с моделью прямых дисков, так, например, для  $\theta = 120^\circ$  рост  $f$  составляет 0,3%.

Что касается учета реальной проводимости стенок волновода, то этот эффект приводит к сравнительно небольшому снижению резонансной частоты (в среднем на 0,025%).

В литературе отсутствуют экспериментальные данные для различных фазовых сдвигов  $\theta$  в диапазоне миллиметровых волн. Для  $\theta \sim 140^\circ$ ,

Таблица 1

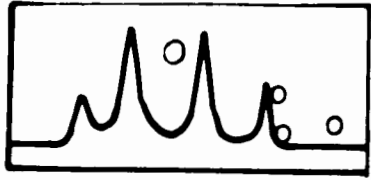
$\theta$	$39,6^\circ$	$46,26^\circ$	$55,62^\circ$	$69,48^\circ$	$92,7^\circ$	$126,54^\circ$	$139,32^\circ$	$146,7^\circ$	$164^\circ$
$f_{\text{н}}(\text{ГГц})$		34,2579	34,2679	34,2848	34,3163	34,3597	34,3726	34,3787	34,3886
$f_{\text{л}}(\text{ГГц})$	34,2630	34,2697	34,2792	34,2954	34,3257	34,3673	34,3797	34,3855	34,3951
$\beta_{(\text{A})}$	3,5	3	2,5	2,0	1,5	1,1	1,0	0,95	0,85
$\beta_{\text{ГР}}^{(\text{A})}$	0,0034	0,0039	0,0044	0,0050	0,0054	0,0043	0,0035	0,0030	0,0015

Примечание:  $\beta_{(\text{A})}, \beta_{\text{ГР}}^{(\text{A})}$  — фазовая и групповая скорости  $E_{01}$ -волны по программе ALF.

$\theta$	30°	60°	90°	120°	139,225°	139,785°	140°	150°	180°
$f_L(\text{ггч})$	34,244I	34,2730	34,3126	34,3522	34,3725	34,3732	34,381I	34,3918	
$f'_L(\text{ггч})$	34,2309	34,2598	34,2993	34,3389	34,3593	34,3600	34,3679	34,3785	
$f_S(\text{ггч})$	34,3390	34,3776	34,4305	34,4834	34,5112	34,5149	34,522I	34,5363	
$f'_S(\text{ггч})$	34,3258	34,3644	34,4172	34,470I	34,49796	34,4982	34,5088	34,5230	
$\beta_L$	4,6236	2,3137	1,5443	1,1595	I,0	0,9945	0,9284	0,7739	
$\beta_S$	4,6364	2,3208	1,5496	1,1640	I,0	0,9985	0,9322	0,7772	
$\beta_{\text{ГР}}^{(L)}$	0,0028	0,0048	0,0056	0,0048	0,0037	0,0036	0,0028	0	
$\beta_{\text{ГР}}^{(S)}$	0,0037	0,0075	0,0065	0,0048	0,0048	0,0048	0,003I	0	

Примечание:  $f_L$  — частота  $E_{01}$ -волны для прямых дисков при  $\sigma = \infty$ ,  $f'_L$  — частота  $E_{01}$ -волны для прямых дисков при  $\sigma = \infty$ ,  $f_S$  — частота  $E_{01}$ -волны для закругленных дисков при  $\sigma = \infty$ ,  $f'_S$  — частота  $E_{01}$ -волны для закругленных дисков при  $\sigma$  конечном,  $\beta_L$  и  $\beta_S$  — соответствующие фазовые скорости,  $\beta_{\text{ГР}}^{(L)}$  и  $\beta_{\text{ГР}}^{(S)}$  — соответствующие групповые скорости.

$E_{011}$					$H_{111}$				
$\beta$	$\beta_{\text{ГР}}$	$f(\text{ггч})$	$\theta$		$\beta$	$\beta_{\text{ГР}}$	$f(\text{ггч})$	$\theta$	
1,5	$-0,81 \cdot 10^{-2}$	62,312	0,9347		1,3	$-0,37 \cdot 10^{-2}$	53,129	0,919	$\pi$
1,8	$-0,35 \cdot 10^{-2}$	62,327	0,7797		1,8	$-0,16 \cdot 10^{-1}$	53,244	0,689	$\pi$
2,2	$-0,51 \cdot 10^{-2}$	62,354	0,6387		2,0	$-0,19 \cdot 10^{-1}$	53,296	0,599	$\pi$
2,5	$-0,56 \cdot 10^{-2}$	62,373	0,5617		2,5	$-0,23 \cdot 10^{-1}$	53,409	0,481	$\pi$
3,0	$-0,57 \cdot 10^{-2}$	62,396	0,4687		3,0	$-0,24 \cdot 10^{-1}$	53,493	0,401	$\pi$
3,5	$-0,55 \cdot 10^{-2}$	62,413	0,4017		3,5	$-0,24 \cdot 10^{-1}$	53,556	0,344	$\pi$
					7,0	$-0,18 \cdot 10^{-1}$	53,723	0,173	$\pi$
$E_{111}$					$H_{021}$				
$\beta$	$\beta_{\text{ГР}}$	$f(\text{ггч})$	$\theta$		$\beta$	$\beta_{\text{ГР}}$	$H_{011}$	$f(\text{ггч})$	$\theta$
1,8	$0,24 \cdot 10^{-1}$	73,844	0,9237		2,0	$-0,93 \cdot 10^{-3}$	72,459	0,815	$\pi$
2,0	$0,49 \cdot 10^{-1}$	73,668	0,8297		2,5	$-0,17 \cdot 10^{-2}$	72,469	0,652	$\pi$
2,5	$0,75 \cdot 10^{-1}$	73,195	0,6597		3,0	$-0,19 \cdot 10^{-2}$	72,478	0,543	$\pi$
3,0	$0,79 \cdot 10^{-1}$	72,801	0,5467						
3,5	$0,70 \cdot 10^{-1}$	72,525	0,4667						
7,0	$0,44 \cdot 10^{-1}$	71,881	0,2317						
$E_{012}$					$H_{021}$				
$\beta$	$\beta_{\text{ГР}}$	$f(\text{ггч})$	$\theta$		$\beta$	$\beta_{\text{ГР}}$	$H_{011}$	$f(\text{ггч})$	$\theta$
2,2	$-0,25 \cdot 10^{-2}$	95,085	0,9727		1,8	$0,19 \cdot 10^{-3}$	74,949	0,937	$\pi$
2,5	$-0,19 \cdot 10^{-1}$	95,143	0,8567		2,0	$0,38 \cdot 10^{-3}$	74,948	0,843	$\pi$
3,0	$-0,36 \cdot 10^{-1}$	95,320	0,7157		2,5	$0,62 \cdot 10^{-3}$	74,944	0,674	$\pi$
3,5	$-0,43 \cdot 10^{-1}$	95,499	0,6147		3,0	$0,68 \cdot 10^{-3}$	74,941	0,562	$\pi$
					3,5	$0,69 \cdot 10^{-3}$	74,939	0,482	$\pi$
					4,0	$0,66 \cdot 10^{-3}$	74,937	0,421	$\pi$
					$H_{021}$				
					3,0	$0,15 \cdot 10^{-2}$	III,73I	0,838	$\pi$
					3,5	$0,22 \cdot 10^{-2}$	III,72I	0,718	$\pi$
					4,0	$0,25 \cdot 10^{-2}$	III,712	0,628	$\pi$
					4,5	$0,26 \cdot 10^{-2}$	III,704	0,558	$\pi$



СВВ 855-3541

Рис.3. Осциллограмма резонансных частот.

$\beta = 1$  на рис. 3 приведена осциллограмма <sup>1/2</sup>, где показаны резонансные частоты для макета волновода с вышеуказанными параметрами. Частоты, соответствующие пикам слева направо, следующие:  $f = 34,380; 34,450; 34,515;$

$34,575$  ГГц. Авторы не дают объяснения этому явлению. Значение частоты, соответствующее наибольшему пику, отмечено на рис. 2 крестиком. Как видно, расчетное значение хорошо совпадает с измеренным.

В табл.3 показаны резонансные частоты гармоник поля с вариацией по азимуту, вычисленные по программе ALF. Все они выше в 1,5-3 раза частоты основной гармоники и имеют фазовые скорости  $\beta$  больше единицы. В связи с этим влияние их на продольное движение частиц пучка будет несущественным, однако их роль при неустойчивости типа "beam break-up", приводящей к увеличению поперечных размеров пучка с резко выраженной несимметрией, может быть значительной.

При использовании диафрагмированных волноводов как ускоряющих структур необходимо знать не только дисперсионные характеристики, но и энергетические величины. Важнейшими из них являются: величина вектора Пойнтинга -  $\Pi = [E \cdot H]$  <sub>z=0</sub>, поток мощности, проходящей

через структуру  $-P_w = 2\pi \int r \Pi dr$  <sub>0</sub>, энергия, запасенная волной в периоде структуры  $-W = \mu_0 \int_V |H_\phi|^2 dV$ , мощность потерь в проводящих

плоскостях  $P_s = R_s \int |H_\phi|^2 dS$ .

Одним из главных моментов при проектировании волновода в качестве ускоряющей структуры с высокой напряженностью поля является вопрос о распределении и величине электрического поля в системе.

На рис. 4, 5 приведены значения нормальной компоненты электрического поля вдоль проводящих поверхностей для основной гармоники поля в случае прямых дисков.

Как показал расчет, для волновода с закругленными краями дисков максимальное значение  $E_n$ , определяющее опасность пробоя в волноводе, на 16% меньше, чем для волновода с прямыми дисками.

На рис. 6 показано распределение электрического поля вдоль оси системы ( $E_z$ ) для половины пространственного периода структуры; кривые для прямых и закругленных дисков практически совпадают.

Поэтому среднее ускоряющее поле на оси системы одинаково для обоих вариантов ( $E_{cp} = 3,0 \cdot 10^8$  В/м).

Поток мощности составляет при этом  $6,88 \cdot 10^6$  Вт — для прямых дисков и  $9,05 \cdot 10^6$  Вт — для закругленных.

Таблица 4

NORM ON AVER ELECT FIELD ON AXIS		3.0000D 08		V/M	
L/M	S/Q	CM	CM	DB/M	DB/M
CAVITY LENGTH	0.1687	CM	CM	2.0175D 00	DB/M
CAVITY RADIUS	0.3377	CM	CM	2.3279D-03	MKSEC
FREQUENCY IN IDEAL VACUUM	34372.5013	MHZ	MHZ	5.3877D 04	OM
FREQUENCY IN REAL CONDUCTIVITY	34359.2615	MHZ	MHZ	1.1061D-02	J
LENGTH OF WAVE	0.8722	CM	CM	5.6174D 05	WATI
WAVE VALUE	7.2039	1/CM	1/CM	5.6174D 05	WATI
PHASE SHIFT PER PERIOD	139.2250	GRAD	GRAD	1	
PHASE VELOCITY OF ZERO WAVE V/C	1.0000			9.5033D 06	WATI
GROUP VELOCITY V/C	0.003657			4.2698D 03	
DISPERSION COEFFICIENT	274.4471			4.5812D 04	1/SQRT(M)
ATTENUATION PER PERIOD	0.0090	DB	DB	5.4655D 08	V/M
ATTENUATION CONSTANT	2.6612E 00	DB/M	DB/M	6.0922	CM
FILLING TIME FOR PERIOD	3.0766E-03	MKSEC	MKSEC	6.4420E 05	A/M
SERIES RESISTANCE	7.4396E 04	OM	OM	0.2632	CM
STORED ENERGY	1.0587E-02	J	J	3.0000E 08	V/M
IMPULSIVE POWER DISSIPATION	5.3659E 05	WATI	WATI	5.0597E 05	V
MIDDLE POWER DISSIPATION	5.3659E 05	WATI	WATI	0.0	GRAD
DUTY FACTOR	1			1.4144E 02	MOM/M
TRAVELING POWER FLUX	6.8822E 06	WATI	WATI	ZERO	FIRST
QUALITY FACTOR	4.2611E 03			1.0000	0.2797
NORM QUALITY Q/SQRT(LAMBDA)	4.5626E 04	1/SQRT(M)	1/SQRT(M)	0.8812	-0.0749
MAXIMUM OF ELECTRIC FIELD	6.5030E 08	V/M	V/M	4.4587E 05	-3.7904D 04
NEAR POINT WITH X=0.1445 CM	0.0822	CM	CM	2.6437E 08	-2.2474D 07
MAXIMUM OF MAGNETIC FIELD	6.4420E 05	A/M	A/M	219.6705	1.5875
NEAR POINT WITH X=0.0 CM,	0.2632	CM	CM	9.7843E 03	5.4996D 00
MIDDLE ELECTRIC FIELD ON AXIS	3.0000E 08	V/M	V/M		
VOLTAGE ALONG THE AXIS	5.0597E 05	V	V		
SINCHRONOUS PHASE	0.0	GRAD	GRAD		
TOTAL SHUNT RESISTANCE U**2/2/P FOR HARMONIC NUMBER	1.4144E 02	MOM/M	MOM/M		
PHASE VELOCITY V/C	1.0000				
TRANSIT TIME FACTOR	0.8812				
ACCELERATION V	4.4587E 05	-3.7904D 04	-3.7904D 04		
ACCELERATION RATE V/M	2.6437E 08	-2.2474D 07	-2.2474D 07		
EFFECTIVE SUNT RES	219.6705	1.5875	1.5875		
COUPLING RESISTANCE OM	9.7843E 03	5.4996D 00	5.4996D 00		

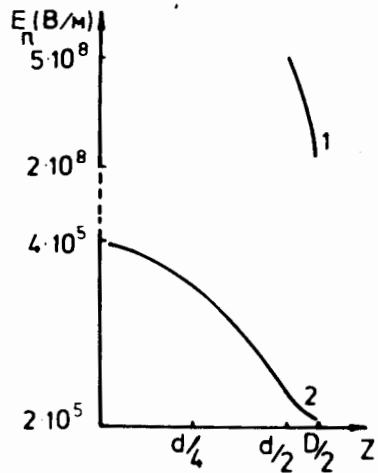


Рис. 4. Распределение  $E_n$ -компоненты вдоль оси  $z$ . 1 -  $r = a$ ; 2 -  $r = b$ .

Рис. 6. Распределение  $E_z$ -компоненты вдоль оси  $z$  при  $r = 0$ .

Полная сводка основных результатов расчета по программе MULTIMODE представлена в табл.4: LIN — для прямых, SQ — для закругленных дисков.

## ЗАКЛЮЧЕНИЕ

В работе изложены результаты численного моделирования высокочастотных характеристик диафрагмированного волновода, проведенного для прямоугольных краев дисков по двум программам: MULTIMODE — на основе метода конечных элементов, ALF — на основе метода частичных областей.

Результаты вычисления дисперсионной зависимости — диаграмма Бриллюэна — показали совпадение результатов, что подтверждается также результатами измерений.

Пакет программ MULTIMODE использовался также для численного моделирования волновода с более сложной формой поперечного

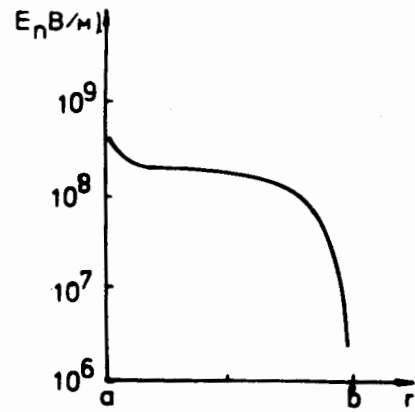
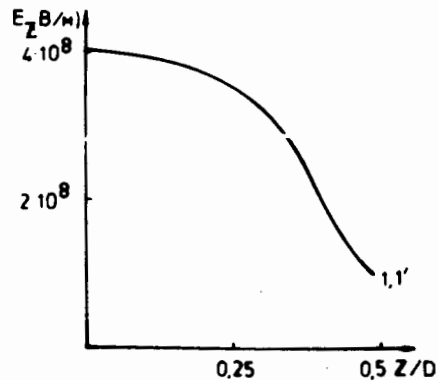


Рис. 5. Распределение  $E_n$ -компоненты по радиусу при  $z = d/2$ .



сечения (закругленные края дисков). Кроме того, эта программа позволяет рассмотреть ряд тонких эффектов в распределении поля и вычислить энергетические характеристики системы.

В заключение авторы благодарят Э.А.Перельштейна за плодотворные обсуждения.

## ЛИТЕРАТУРА

1. Hopkins D.B., Sessler A.M., Wurtele J.S. — Nucl. Instr. and Meth., 1984, 228, p.15.
2. Hopkins D.B., Kuenning R.W. — IEEE Trans. on Nucl. Science, v.NS-32, No.5, 1985, p.3416.
3. Bell M., Dome G. CERN Preprint 73-101, 1973.
4. Касчиев М.С., Парамонов В.В., Пузынин И.В. Препринт ОИЯИ P11-83-724, Дубна, 1983.
5. Вальднер О.А., Шальнов А.В., Диденко А.И. Ускоряющие волноводы и резонаторы. М.: Атомиздат, 1973.
6. Касчиев М.С., Касчиева В.А., Штрайт Э. Препринт ОИЯИ P11-83-146, Дубна, 1983.
7. Мамонов В.Н., Рубин С.Б. ОИЯИ, Б1-9-83-529, Дубна, 1983.
8. Бурштейн Э.Л., Воскресенский Г.В. Линейные ускорители электронов с интенсивными пучками. М.: Атомиздат, 1970.
9. Рубин С.Б. Взаимодействие электронного сгустка с ускоряющей системой. М.: Энергоатомиздат, 1985.
10. Готин И.В. и др. Препринт ИЯИ АН СССР, П-0412, М., 1965.

Рукопись поступила в издательский отдел  
20 апреля 1987 года.

### НЕТ ЛИ ПРОБЕЛОВ В ВАШЕЙ БИБЛИОТЕКЕ?

Вы можете получить по почте перечисленные ниже книги, если они не были заказаны ранее.

Д9-82-664	Труды совещания по коллективным методам ускорения. Дубна, 1982.	3 р. 30 к.
Д3,4-82-704	Труды IV Международной школы по нейтронной физике. Дубна, 1982.	5 р. 00 к.
Д11-83-511	Труды совещания по системам и методам аналитических вычислений на ЭВМ и их применению в теоретической физике. Дубна, 1982.	2 р. 50 к.
Д7-83-644	Труды Международной школы-семинара по физике тяжелых ионов. Алушта, 1983.	6 р. 55 к.
Д2,13-83-689	Труды рабочего совещания по проблемам излучения и детектирования гравитационных волн. Дубна, 1983.	2 р. 00 к.
Д13-84-63	Труды XI Международного симпозиума по ядерной электронике. Братислава, Чехословакия, 1983.	4 р. 50 к.
Д2-84-366	Труды 7 Международного совещания по проблемам квантовой теории поля. Алушта, 1984.	4 р. 30 к.
Д1,2-84-599	Труды VII Международного семинара по проблемам физики высоких энергий. Дубна, 1984.	5 р. 50 к.
Д17-84-850	Труды III Международного симпозиума по избранным проблемам статистической механики. Дубна, 1984. /2 тома/	7 р. 75 к.
Д10,11-84-818	Труды V Международного совещания по проблемам математического моделирования, программированию и математическим методам решения физических задач. Дубна, 1983	3 р. 50 к.
	Труды IX Всесоюзного совещания по ускорителям заряженных частиц. Дубна, 1984 /2 тома/	13 р. 50 к.
Д4-85-851	Труды Международной школы по структуре ядра, Алушта, 1985.	3 р. 75 к.
Д11-85-791	Труды Международного совещания по аналитическим вычислениям на ЭВМ и их применению в теоретической физике. Дубна, 1985.	4 р.
Д13-85-793	Труды XII Международного симпозиума по ядерной электронике. Дубна, 1985.	4 р. 80 к.
Д3,4,17-86-747	Труды V Международной школы по нейтронной физике. Алушта, 1986.	4 р. 50 к.

Заказы на упомянутые книги могут быть направлены по адресу:  
101000 Москва, Главпочтамт, п/я 79  
Издательский отдел Объединенного института ядерных исследований

Касчиев М.С. и др.

P9-87-268

Расчет высокочастотных характеристик диафрагмированных волноводов

Вычислены радиотехнические характеристики диафрагмированного волновода, пригодного для модели двухпучкового ускорения. Расчеты для волновода с прямыми дисками показали совпадение резонансных частот, вычисленных по программам: MULTIMODE — метод конечных элементов и ALF — метод частичных областей. Пакет программ MULTIMODE использовался также для численного моделирования волновода с закругленными краями дисков, построения картины распределения поля и некоторых энергетических характеристик системы.

Работа выполнена в Лаборатории вычислительной техники и автоматизации и Отделе новых методов ускорения ОИЯИ.

Сообщение Объединенного института ядерных исследований. Дубна 1987

Перевод О.С.Виноградовой

Kaschiev M.S. et al.

P9-87-268

Calculations of High Frequency Parameters of Disc-Loaded Waveguides

Radiotechnical parameters of disc-loaded waveguide suitable for modeling two-beam acceleration are designed. Two series of calculations using the finite element method (MULTIMODE) and restricted region method (ALF) lead to coinciding resonance frequencies for rectangular-disc waveguide. The MULTIMODE program packet is also used for the numerical shaping of the rounded-edge-disc waveguide, the field distribution picture and several energy parameters of the designed system.

The investigation has been performed at the Laboratory of Computing Techniques and Automation and Department of New Acceleration Methods, JINR.

Communication of the Joint Institute for Nuclear Research. Dubna 1987